

東京の山地河川でのM T M モデルによる洪水流出解析

Flood Runoff Analysis for Mountain basins Rivr in Tokyo Using
a M·T·M model

東京都土木技術研究所 正員○土屋 十四
新潟大学 工学部 正員 岡本 芳美
東京都土木技術研究所 正員 和泉 清

1. はじめに

東京の西多摩地域は多摩川本川上流域、秋川、平井川、及び日原川等の山地河川があり、昭和57年8月の台風10号による豪雨で、近年にない規模の河川災害が発生した。現在、これらの河川の改修計画は低地部を比較的多くもつ平井川を除いて準備されていない。しかし、近年、この水系では東京のリクリエーション地域としてつり人口の増大、多摩地域への開発に伴う市街地のスプロール化等によって、適格な河川情報の伝達、洪水予測の必要性が重要な課題となっている。東京都としては、従来、河道計画のための洪水流出解析は合理式によって立案して来た。しかし、西多摩地域のような山地河川においては、洪水流出現象は二次流出分が卓越しているため合理式では減水部での同定化が難しいことが予想される。したがって、本報では、流域の特性値を知るだけで、流域毎の定数パラメータが設定でき、降雨流出現象のような非線形現象でも、流域での適格な分割によって、現象は線形現象とみなせるようになるなど、流域の分割が基本となっているM T M モデル (Multi-Tank Matrix-Model) を使って、洪水流出解析を試み、評価を行ったものである。

2. 流域の概要と流域解析

本報の対象河川である流域の概況は表-1、及び図-1に示すとおりである。多摩川（小河内ダム～万年橋）は奥多摩湖にその源を発し、流域面積112.2km²で、流域内に小河内、奥多摩の2ヶ所の雨量観測所を有し、地形は上流の大起伏山地から下流の万年橋付近の丘陵地（市街地）に大きく変化し、地質も古生層、中性層から第4紀層（堆積岩）まで変化している。以下、地形、地質についての分類図は、図-2～3に示す、日原川は東京都西多摩郡の埼玉県境にその源を発し、流域面積93.8km²流域内に天祖山、日原の2ヶ所の雨量観測所を有し地形は大起伏山地で、地質は主に古生層である。柄久保地点で多摩川と合流する。秋川は奥多摩湖付近と山梨県境にその源を発し、流域面積1663km²で、地形は多摩川流域

表-1 流域の諸元

河川名	流域面積 (km ²)	河川延長 (km)	最大標高 (E.L.m)	最小標高 (E.L.m)	平均勾配 (%)
多 摩 川 (小河内ダム上流域)	262.9	55.1	2024	600	2.58
多 摩 川 (万年橋～小河内ダム内)	112.15	29.2	1070	140	3.18
秋 川	166.3	38.2	940	98	2.20
平 井 川	38.1	18.5	370	110	1.40
日 原 川	93.8	21.1	1370	340	4.88



図-1 調査対象流域と量水標設置地点

とほぼ同様である。地質は主に、中生層の堆積岩である。平井川は多摩川、秋川に挟まれ西多摩郡の日の出山付近にその源を発し、流域面積は38.1km²であり、地形は上流部の小起伏山地から下流の水田、市街地まで変化し、山地面積率は4河川のうち最も小さい。地質は古生層から下流の変成岩へと変化し、土地利用は下流部で畠地、水田、市街地が広がる。

本研究ではM T M法に用いる多

摩川流域等の定数パラメーターの値を求めるために $1/50,000$ と $1/200,000$ 地形図と土地分類図の中の地形分類図、表層地質図、土壤図、土地利用現況図を基礎資料として、地形分類、土壤、地域分類、土地利用現況図を作成した。

流出計算を行うにあたり $1/50,000$ の地形図にもとづき4河川について副流域と残流域に分割し、河道を含むモデルを各河川毎に作成した。図-4には日原川における流出計算モデルを示す。分割された副流域、残流域について計算に必要な山地の流域面積、山地面積率、地質、傾斜土地利用現況等の諸元を計測した。

3. 雨量解析

雨量資料については、昭和47年から同57年までの11年間のデータから19雨量観測所毎の一連雨量(24時間以上無降雨の場合は

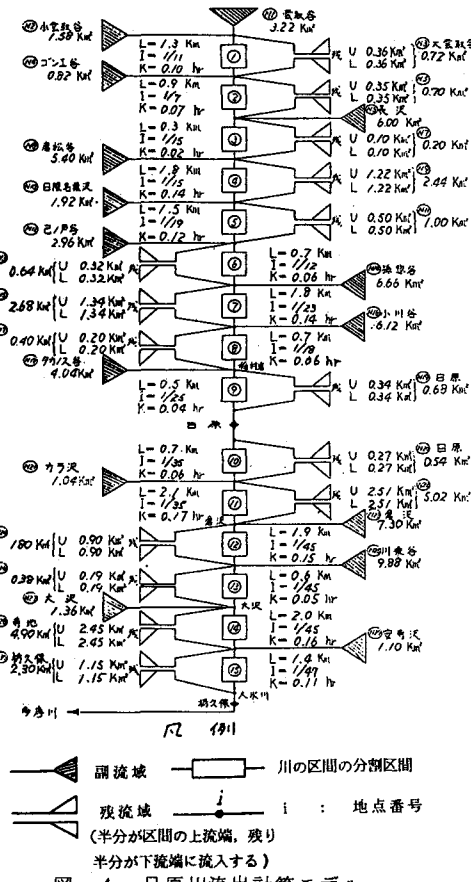


図-4 日原川流出計算モデル

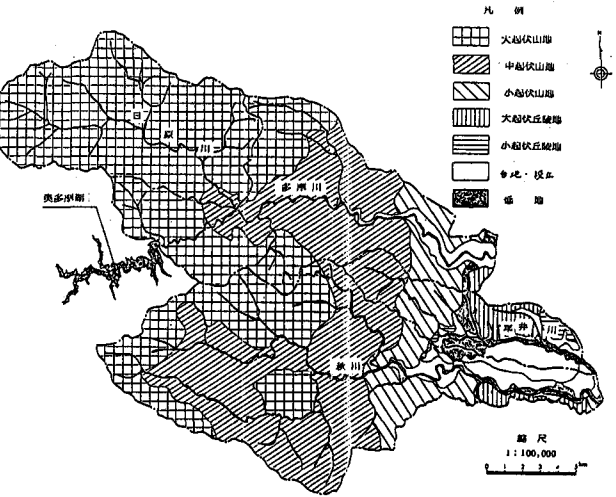


図-2 地形分類図

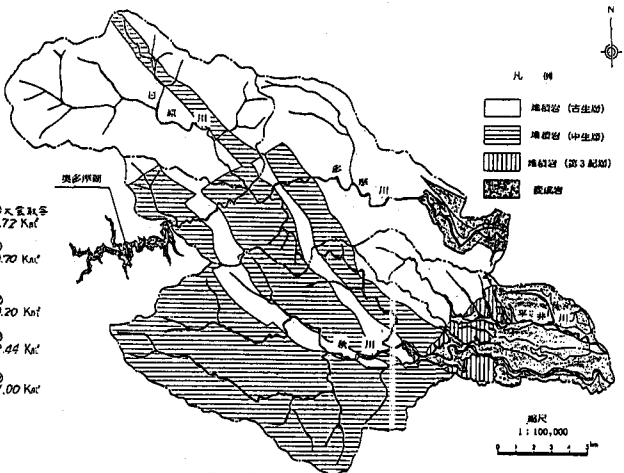


図-3 地質分類図

一連雨とはしない)を上位5まで抽出し、その降雨量と発生時をまとめ、一連降雨のハイエトグラフを作成した。流出計算の入力となる流域平均雨量を各流域分割毎にティーセン法により求めた。

検証対象洪水の昭和57年7月23日～8月3日と昭和47年9月8日から9月17日の各雨量観測所の時間最大降雨量、3時間最大降雨量及び24時間最大降雨量については表-2～3に示す。又、図-5には流域界と雨量観測所を示す。

4. M T M モデルの概要

山地流域で起っている降雨の流出現象は高度の非線形現象であると考えられる。このモデルの基本的な考え方方はこの様な非線形現象でもそれを適格に分割してゆけば各分割部分で起っている現象は線形現象とみなすことができる様になる。図-6は本報での流出解析に用いた全体流域のM T M モデルである。全体流域は山地の部分、市街地の部分、

生起時間	地名	福生	青梅	東海	立川	檜原	羽田城下河内	日原	大根山	吉良谷	内波山	小平	三之瀬	落合	中央	北高	計全	迎水			
昭和57年	8月28日午後～8月29日午前	1時間	0.0	0.0	67.0	0.0	0.0	0.0	37.0	39.0	19.0	33.0	31.0	350	26.0	49.0	0.0	1.0	1.0	1.0	2.0
	8月29日午後～8月30日午前	3時間	55.0	49.0	139.0	79.0	145.0	114.0	118.0	144.0	57.0	86.0	96.0	93.0	780	126.0	29.0	15.0	51.0	130.0	112.0
	7月31日3時～8月1日3時	24時間	202.0	88.5	370.0	271.5	374.5	453.0	340.0	365.0	236.0	292.0	320.0	288.0	276.0	368.0	133.0	136.0	155.0	299.0	420.0

表-2、3 昭和57年、昭和47年洪水時等雨量(単位:mm)

水田地の部分から構成されている。ここでは、山地の部分が流出解析を強く支配するため、市街地及び水田地の部分の説明は割愛し、山地の部分を中心以下述べることとする。

山地の部分は山林地帯、無林地帯、河道地帯に分けられる。まず、最上段にあるのが樹冠層の遮断作用とそこから蒸発をあらわす部分モデルでタンクに雨水が貯まることが遮断作用、流出孔からの流出が雨水の大気中の蒸発をあらわし、溢流が地表面をおおう落葉層への雨水の落下をあ

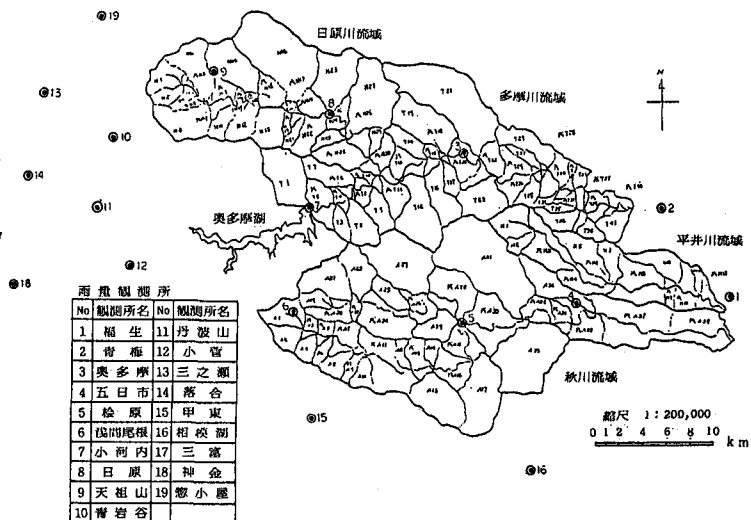
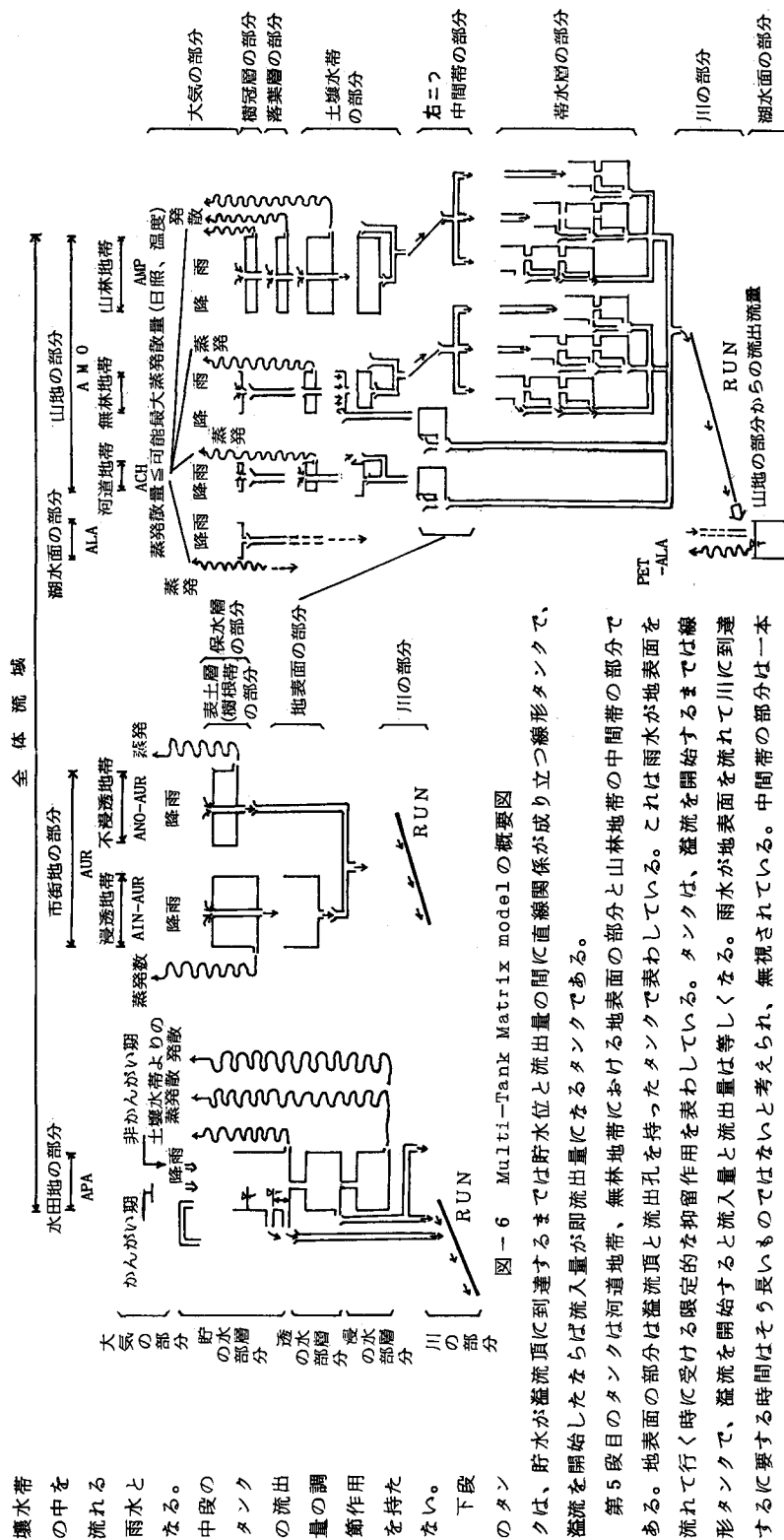


図-5 雨量観測所と流域界

らわしている。第2段にあるのが落葉層の遮断作用とそこからの蒸発をあらわす部分モデルで、樹冠層の部分モデルと全く同じである。第3段目にあるのが山林地の土壤が土の湿りとして雨水を保留し、また樹木の成長によって、発散作用等で戻って行くことをあらわす部分モデルで、タンクの深さが最大保水量、流出孔からの流出量が発散量、溢流頂からの流出量が山林地帯で発生する有効雨量となる。第4段目のタンクが土壤水帯の部分である。基本的には三段構造をしていて、一番上には立て坑と流出孔のついたタンク、真中に篩い目と流出孔のついたタンク、一番下には溢流頂と流出孔のついたタンクが重なっている。一番上のタンクは土壤水帯が雨水を土の湿りとして保留することを表わし、中段のタンクは雨水が土壤水帯から中間帯に向かう浸透するのが妨げられ、地表面に現われることを表わしている。下段のタンクは雨水が土壤水帯を通過して次の過程に移る間に土壤水帯で限定的な抑留作用を受けることを表わしている。上段のタンクの深さは土壤水帯で起こる土の湿りの不足の最大量を表わし、溜った雨水の流出孔からの流出は土壤水帯が土の湿りとして保持していた水分が発散作用により吸い上げられ土の湿りの不足が発生することを表わしている。上段のタンクの深さは土壤水帯で起こる土の湿りの不足の最大量を表わし、溜った雨水の流出孔からの流出は土壤水帯が土の湿りとして保持していた水分が発散作用により吸い上げられ土の湿りの不足が発生することを表わしている。流出孔から流出する雨水の量、すなわち発散量は蒸発散能の一定割合とする。立て坑に流れ込んだ雨水が有効雨量となる。

中段のタンクの篩い目を抜けなかった分が地表面を流れる雨水、篩い目を通り抜けて流出孔より流れ出た

分が土



クは、貯水が溢流頂に到達するまでは貯水位と流出量に直線関係があり立つ線形タンクで、溢流を開始したならば流入量が即流出量になるタンクである。

第5段目のタンクは河岸地帯、無林地帯における地表面の部分と山林地帯の中間帶の部分である。地表面の部分は溢流頂と流出孔を持つタンクで表わしている。これは雨水が地表面を流れ行く時に受けける限定期的な抑留作用を表わしている。タンクは、溢流を開始するまでは線形タンクで、溢流を開始すると流入量と流出量は等しくなる。雨水が地表面を流れ川に到達するに要する時間はそう長いものではないと考えられ、無視されている。中間帶の部分は一本の太い斜線で表わされている。これは土壤水帯から中間帶に入った雨水はここを一定速度で抑留作用を受けることなく帯水層へ向けて移動して行くことを意味している。

第6段目は帯水層の部分である。この部分は基本的には、バイブで連結されている4段のタンクが3列に並列したタンク群で表わされている。この連結タンクの最上段が地下水を非常に早く放出する帯水層、上から2段目が地下水層、上から3段目が地下水をゆっくり放出する帯水層に相当する。基本構造の最下段と最上段のタンクではその性質が違ってくる。即ち、最下段のタンクは貯水位に關係なく一定量を流出孔から放出するもの、中段のタンクは天井に貯水位が着くまでは線形タンクで、そのあとでは流入量が等しくなるタンクであり、最上段のタンクは線形タンクである。

中間帯から移って来た雨水は、連結したタンクの上のタンクが空の時にはそこを通過して下のタンクに入る。下のタンクが満杯状態においてその流出孔から流出した部分は、ただちに上のタンクの貯水と中間帯から移って来た雨水のいづれか、または両方によって補給されるものとする。下のタンクの流出孔からの流出量はその上有るタンクにその貯水から雨水の補給を受けるという点を除いては全然影響を受けない。この部分の連結タンクは左から第1列は早い地下水流出地帯、第2列は普通の地下水流出地帯、第3列は安定した地下水流出地帯に各々相当する。

最後に川の部分である。この川の部分は一本の斜線で表わされている。これは斜面の部分から川の部分へ流れ出た雨水が流域の出口へ向け流れ下って行く状況を表わしている。雨水は川の部分を、河床勾配に応じた速度で流れ下って行くものと考える。

5. 檢証計算結果

(1) パラメーターの設定

流域面積(A.R.E)、山林地帯面積率(AMF)など地形、土地の状況に関するパラメータは地形図、土地分類図を計測することによって決められる。ここでは設定規定に従ってきめられているパラメータ値を表-4に示す。主要なパラメーターとして、DSS 表-4 検証計算で用いたパラメーター一覧表

表-4 検証計算で用いたパラメーター一覧表

は土壤水地帯標準厚さ、P E T - C O R は樹冠層蒸発発散係数、K S O - A M F は山林地帯の土壤水帯抑留係数20hr程度をとる。次に、山地の地下の帶水層の部分をあらわすパラメーターとしては、L S L - A F A は早い地下水流出地帯の地下水を早く放出する帶水層の厚さ、L S L - A M D は地下水をゆっくり放出する帶水層の厚さであり、L S L - A M D は普通の地下水流出地帯の地下水をゆっくり放出する帶水層の厚さである。

(2) 川の区間の流れの計算

川の区間の流れの計算は流出計算に対して独立なものである。図4に示した流域の河川網図を作成する。副流域と残流域に分割されて、副流域では問題はない。しかし、残流域は、雨水が川の区み、空間不等流 (spatially varied flow) を形_iの間の分割区間の残流域の流域面積を A_i (km^2) 距離 B_i (km) は、 $B_i = A_i / 2L_i$ で表わされる。そこ_iの流域と見なして、MTM法で流出計算を行った点_iに集中して流れ込むものとした。この際、こ長さの一本の川沿いに流域面積が等分布している

山地を流れる川は急勾配なため、係数法を用いた。河道貯留量 S は流出量 O に対して直接比列すると仮定し、 $S = K \cdot O$ (K は係数で hr^{-1}) - (1) 又、川のある区間を考えると、上流端への流入量を I 、下流端からの流出量を O 、とすると、区間内の河道貯留量 S は、時間 T とすると、任意の時刻 t については、 $I - O = ds/dt$ - (2) となる。この二式により $O_2 = O_1 + C(I_1 - O_1) + C(I_2 - I_1)/2$ 、ここで、 C の値は、 $C = \Delta T / (K + 0.5 \Delta T)$ で、係数 K は、区間に流れ込んだ流れが、そこを通過するに要する時間と考えられる。そこで、区間距離を L (km)、区間平均河床勾配を $1/L$ として、河床勾配と流下速度の関係はルジハの値より通過速度 V (km/hr) を求めて、 $K = L/V$ 式により K の値を算出した。

(3) 計算開始条件と検証流量

パラメータ名	パラメータ値	パラメータ名	パラメータ値
DSS	1000mm	RDS	AMF
RDS-AOP	5	RDS-ACH	1
LIC-CRO	1	LIC-LIT	50
PSM-AMF	30	PSM-AOP	30
PSM-ACH	30	PPEET-COR	30
PPEET-LIT	10	PPEET-MFSS	30
PPEET-AOP	50	PPLKSSD-T-ACH	30
PLSD-ALAP	1000	PPLKSSD-D-AOP	30
PLSD-AOP	100	PPLKSSD-D-AOP	30
KSO-ACH	2.5	PSSO-O-ACH	30
PSD-AMFE	5	KSSO-O-ACH	30
KSO-AMFE	200	LSSL-AFA	30
KSO-AOP	200	LSSL-AMD	30
FA-AFA	250	PSD-LPE-APA	30
DSS-APA	3000	PET-PON-APA	30
PSD-LRE-APA	3000	PHI-APA	30
PET-LRE-APA	50	LRE-AVR	30
KPA	2	PSM-AVR	30
DSS-AVR	1000mm	PET-AIN-AVR	30
PET-ANO-AVR	50		
KVR	2		

計算開始時流量は、計算開始時の比流量を求め、副流域、残流域の流域面積に乗じて求められるべきであるが、本報では、検証のための水位記録を基にして決定した。蒸発散量は対象とした洪水が短期流であるため無視して計算を行った。計算開始時流量は多摩川が昭和57年で $59 \text{ m}^3/\text{s}$ 、同47年で $53 \text{ m}^3/\text{s}$ 。秋川、平井川は各年とも $45 \text{ m}^3/\text{s}$ 、 $11 \text{ m}^3/\text{s}$ とした。また、土の湿り不足量は7月23日以前の1週間に降雨があったため、各河川とも 0.0 mm とした。検証計算流量は、実測値が望ましいが、当河川では、水位記録だけであることから、現地の実測から、マニング式により流量を推算し、検証流量（実測値）とした。昭和57年の洪水では小河内ダムの放流があり、検証計算では放流量を1時間平均値とした。以上の計算結果と実測値を図-7～10に示した。各年とも、計算値はピーク流量及びその時刻で実測値とほぼ一致している。例えば、多摩川の調布では47年が実測値 $1,200 \text{ m}^3/\text{s}$ 、計算値 $1,170 \text{ m}^3/\text{s}$ であり、57年では各々 $1,500 \text{ m}^3/\text{s}$ 、 $1,490 \text{ m}^3/\text{s}$ である。又、47年の日原川では、実測値 $216 \text{ m}^3/\text{s}$ 、計算値 $220 \text{ m}^3/\text{s}$ となった。しかし、透減部では計算値の方が早めに落ちている点は、今后の課題として残る。

6. おわりに

本報での検証結果から今後の問題点として、流域分割の検討、斜面モデルの出力である雨量から流量への変換方法の検討等によって改良することが必要と考えられる。更に、観測にもとづく実測流量で検討する予定である。本報を発表するに当って、資料を提供していただきました西多摩建設事務所の東野氏には謝意を表します。

（参考文献）岡本芳美、山地における流出計算を行うためのモデル開発研究、第29回水理講演会論文集、1985.2月。

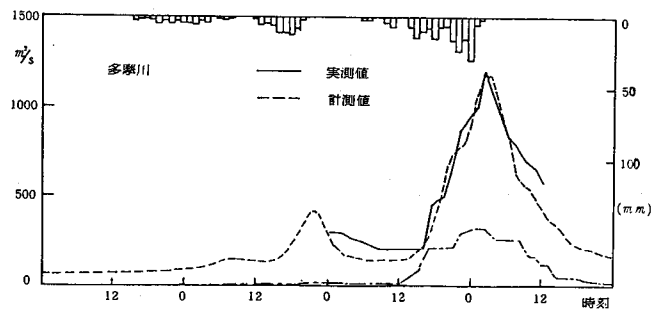


図-7 多摩川調布橋地点流出波形（昭和47年9月洪水）

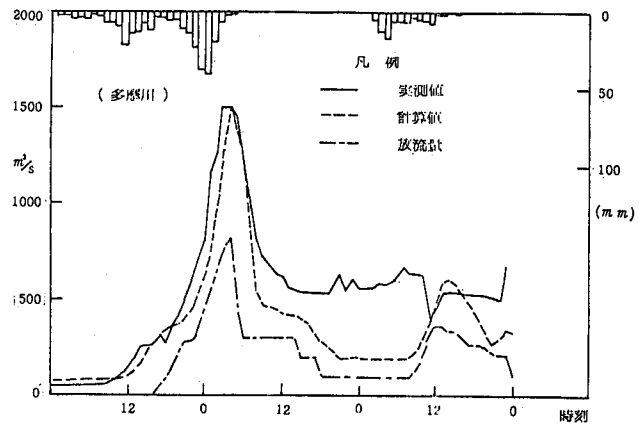


図-8 多摩川調布橋地点流出波形（昭和57年8月洪水）

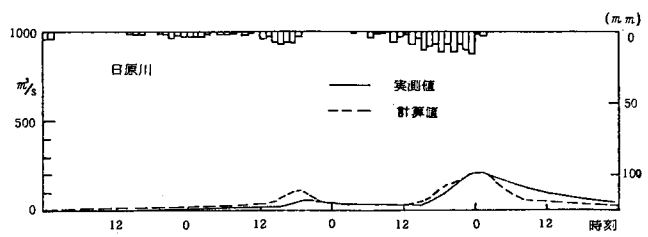


図-9 日原川日原地点流出波形（昭和47年9月洪水）

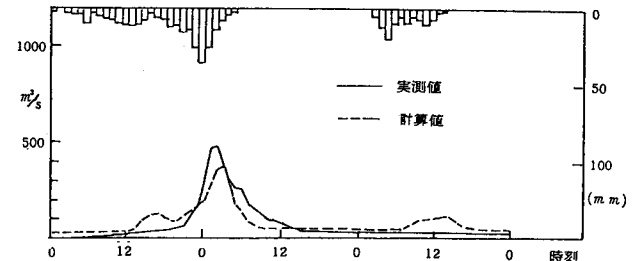


図-10 日原川柄久保地点流出波形（昭和57年8月洪水）